

UDC 678.4:539.3

DOI: <https://doi.org/10.1051/e3sconf/201910900022>

VIBROSEISMIC PROTECTION OF HEAVY MINING MACHINES, BUILDINGS AND STRUCTURES

¹Dyrda V.I., ²Kobets A.S., ³Bulat Ie.A., ⁴Lapin V.A., ⁵Lysytsia N.M., ¹Ahaltsov H.M.,
²Sokol S.P.

¹Institute of Geotechnical Mechanics named by N. Poljakov of NAS of Ukraine, ²Dnipro State Agrarian and Economic University, ³Pridneprovsk Scientific Center of NAS of Ukraine and Ministry of Education and Science of Ukraine, ⁴Kazakh Research and Design Institute of Construction and Architecture, ⁵Oles Honchar Dnipro National University

ВІБРОСЕЙСМІЧНИЙ ЗАХИСТ ВАЖКИХ ГІРНИЧИХ МАШИН, БУДИНКІВ ТА СПОРУД

¹Дирда В.І., ²Кобець А.С., ³Булат Є.А., ⁴Лопін В.О., ⁵Лисиця Н.М., ¹Агальцов Г.М.,
²Сокол С.П.

¹Інститут геотехнічної механіки ім. М.С. Полякова НАН України, ²Дніпровський аграрно-економічний університет, ³Придніпровський науковий центр Національної академії наук України і Міністерства освіти і науки України, ⁴Казахський науково-дослідний і проектний інститут будівництва й архітектури, ⁵Дніпровський національний університет ім. О. Гончара

ВИБРОСЕЙСМИЧЕСКАЯ ЗАЩИТА ТЯЖЕЛЫХ ГОРНЫХ МАШИН, ЗДАНИЙ И СООРУЖЕНИЙ

¹Дырда В.И., ²Кобец А.С., ³Булат Е.А., ⁴Лопин В.А., ⁵Лисица Н.Н., ¹Агальцов Г.Н.,
²Сокол С.П.

¹Институт геотехнической механики им. Н.С. Полякова НАН Украины, ²Днепропетровский аграрно-экономический университет, ³Приднепровский научный центр Национальной академии наук Украины и Министерства образования и науки Украины, ⁴Казахский научно-исследовательский и проектный институт строительства и архитектуры, ⁵Днепропетровский национальный университет им. О. Гончара

Abstract. Analysis of global practice of vibroseismic protection of buildings and structures shows that systems with elastomeric blocks are the most promising in terms of cost and efficiency. In case of seismic movements, these systems protect buildings and structures not only in vertical and horizontal planes, but also against torsion. It is considered that torsion in combination with adverse factors such as vertical component of seismic impact, in particular, are the main cause of catastrophic destruction during the earthquakes. In the article, the authors analyze main issues of protecting buildings and structures against vibroseismic effects with the help of system of elastomeric blocks, which are characterized by high vertical stiffness, low shear stiffness, high energy dissipation and ability to center vertical load; besides, they feature high reliability with no risk of sudden failure. Results of static and dynamic tests of parametric series of elastomeric blocks used for protection of residential buildings against vibrations are presented. Design of pile with anti-vibration rubber supports is described. Calculation of elastomeric blocks under static compression is presented. Components of the stress-strain state of the thin-layer elements were investigated, and rate of the thin rubber layer compression under the action of vertically applied force was calculated. In numerical calculation, weak compressibility of rubber was simulated by moment force of the finite element for weakly compressible materials, which assumes triple approximation of displacement fields, deformation components, and volume change function. The numerical solution was obtained by the finite element method for different radius-thickness ratios in case of geometrically nonlinear elastic and viscoelastic deformation. Geometric nonlinearity was described with the help of the nonlinear deformation tensor. In order to model viscoelastic properties of the rubber, the Boltzmann-Volterra hereditary theory was used with the Yu.N. Rabotnov relaxation core. Nonlinear boundary problems were solved by the modified Newton-Kantorovich method. Influence of geometric nonlinearity and viscoelastic properties of rubber on the rate of the rubber layer compression was investigated.

Keywords: vibroseismic protection of buildings and structures, vibroinsulator, static and dynamic researches, calculation of vibroinsulators

1 Preface

Analysis of global practice of vibroseismic protection of buildings and structures shows that systems with elastomeric blocks are the most promising in terms efficiency. In case of seismic movements, these systems protect buildings and structures not only in vertical and horizontal planes, but also against torsion.

Protection of heavy mining machines (screens, vibratory feeders, cone inertial crushers, vibroconveyors, crushers, etc.) against vibration action with the help of rubber vibroseismic insulators is described in all details in [1].

System of vibration and seismic action insulation (vibroseismic protection system) is designed to reduce seismic response of the buildings and protect them against earthquakes. The system can also be used to protect construction sites from industrial vibrations and shock waves, such as waves caused by explosions in the quarries and vibrations and noise caused by subway, motor and rail transports [2-5, 12]. Use of vibroseismic protection in Ukraine is regulated by European and Ukrainian regulatory documents [6].

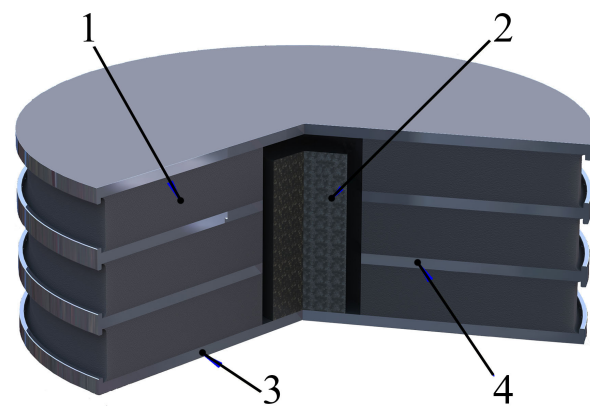
For the purpose of practical application of vibroseismic protection systems in the buildings, Institute of Geotechnical Mechanics named by N. Poljakov of National Academy of Sciences of Ukraine and the state enterprise “Research Institute of Building Structures” carried out experimental studies and substantiated parameters of rubber blocks for seismic protection (rubber seismic blocks – RSB), patented their designs, developed design documentation and made experimental samples of three diameters (340 mm, 400 mm and 500 mm) and with the following heights of the rubber layer: 50 mm, 2×120 mm, 2×70 mm and 2×50 mm. The RSB experimental samples (Fig. 1) were manufactured by the Ukrainian enterprises.

In order to determine stiffness and damping characteristics of elastomeric blocks for industrial conditions, the state enterprise “Research Institute of Building Structures” conducted laboratory tests of three types of the designed blocks under static and dynamic loads in accordance with requirements of Eurocode 8, European and international standards.

Objective of the work – based on the results of static and dynamic tests of rubber seismic modules, develop method for calculating them.

2 Designing of System for Seismic Insulation according to the SCN V.1.1-12:2014 standard

Section SCN V.1.1-12:2014 of the Ukrainian standard contains general provisions for designing systems for seismic insulation of buildings and structures of different



1 – rubber layer; 2 – lead core; 3 – bed plate; 4 – metal plate with a fillet

Figure 1 – General view of rubber-metal highly-damping anti-vibration and anti-seismic support with the lead core

functioning. In this article, passive system of the building and structure seismic insulation with no additional sources of energy for oscillation damping is considered.

Seismic insulation system is used in buildings of different functioning when new buildings are constructed or existing ones are reconstructed. The seismic insulation system should be located under the great bulk of the construction, as a rule, between foundation and upper part of the building (superstructure).

Seismic insulation systems should feature: high vertical stiffness; low shear stiffness in order to improve effectiveness of horizontal seismic insulation; ability to produce essential horizontal displacements during the earthquakes; great energy dissipation; limited horizontal displacements at non-seismic loads; high reliability with no chance for failure; high level of engineering equipment protection with no risk to damage bearing elements.

Seismic protection means improvement of building and structure seismic resistance thanks to special structural elements, which can withstand the calculated seismic loads without complete destruction and with minimal loss of life.

Seismic protection allows to: keep the building and structure integrity during earthquakes and man-made impacts; cut down the estimated costs of construction; reduce material consumption for the buildings and structures; decrease labour intensity of the construction; expand area of standard series application due to development of areas with high risk of seismicity and increased number of stories in buildings constructed with the same structures.

3 Methods

3.1 Results of experimental studies

Method of the experimental study is described in [1]; and results of the study of rubber element compression and shear are described in [5].

In order to determine effect of lead core on the RSB stiffness and damping characteristics (rubber elements with diameter of 500 mm were tested) two supports without lead cores and two – with lead cores were tested in cyclic mode for compression and shearing. The cores were made in the form of solid cylinders with height of 100 mm and diameter of 70 mm.

Figure 2 shows the “horizontal load – displacement” dependencies for the RSB with lead core (curve 1) and without the core (curve 2) under vertical load of 1000 kN on the support. Analysis of the graphs shows that, at shear, lead core significantly affects the RSB stiffness and dissipative characteristics.

Tests for support compression were conducted with three types of supports – diameter 400 mm, height: 2×70 mm and 2×120 mm; and diameter 500 mm, height 2×50 mm.

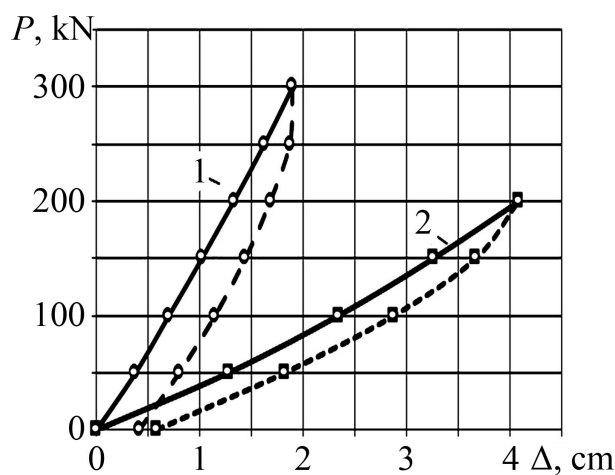


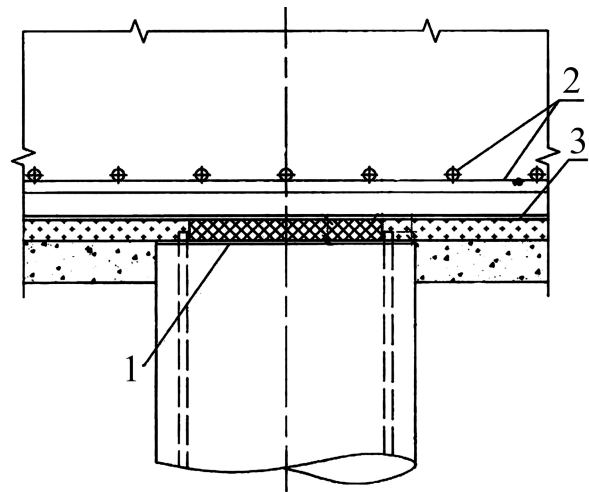
Figure 2 – The “loading-unloading” dependencies for the RSB with diameter 500 mm

In accordance with requirements of the ISO (International Organization for Standardization) standard and European standard, and in order to determine state of the RSB design at maximum vertical loads 4 times higher than the design load, one RSB sample was tested under cyclic vertical loads by special program: three half-cycles “loading-unloading” each time adding 300 kN (exposure at each stage was for 5 minutes) up to 3000 kN; two half-cycles “loading-unloading” each time adding 500 kN (exposure at each stage was for 2 minutes) up to 5000 kN; and 1 half-cycle “loading-unloading” gradually adding 1000 kN (exposure at each stage was for 5 minutes) up to 9000 kN.

With the compression multi-cyclic loads from 3000 kN to 9000 kN, after the RSB complete unloading for 10 minutes, rubber elements totally took their original shape. No cracks were found in any of the 12 tested rubber elements made of natural rubber.

3.2 Technical solutions and installation of the RSBs

The seismic blocks are manufactured on the rubber elements of the target dimension. With the help of results of calculation of seismically insulated building in terms of seismic loads, geometric parameters of the rubber elements and their compression and shear stiffness were determined. The seismic blocks were installed between the lower base plate (for example, on its ribbed stiffeners) and the upper monolithic reinforced concrete distributing plate of the building (Fig. 3). It is also possible to install the RBS on the basement floor or on the pile head. The lower support plate can be bolted by the anchors to the ribs of the foundation slab or to the pile head, and the upper support plate can be fastened to the upper distributing concrete plate of the building or to the monolithic walls of the basement floor.



1 – RSB; 2 – lower reinforcement of the grillage; 3 – polyethylene film

Figure 3 – Layout of RSB on a pile of the anti-vibration system in sections 1 and 2 of the apartment house in the Kikvidze street, city of Kyiv

3.3 Calculation of RSB

Calculation of the rubber element was considered in [8-11]. For small deformations ($\varepsilon < 0.1$), and with the help of the Ritz method, the authors of this work obtained an analytical dependency between compression Δ of cylindrical rubber layer with free (unfastened) top and bottom and the applied load:

$$\Delta = \frac{P_0 h}{3\pi R^2 G} \left[1 - \frac{R}{h\sqrt{6}} \operatorname{th} \frac{h\sqrt{6}}{R} \right], \quad (1)$$

where P_0 is compressive load on the rubber layer with free top and bottom, N; h is height of the rubber layer, m; R is radius of the rubber layer, m; and G is the rubber shear modulus, Pa.

At uniaxial compression and small deformations ($\varepsilon < 0.1$), dependency between the rubber layer compression and applied load is determined by the formula:

$$\Delta = \frac{P_0 h}{3\pi R^2 G}. \quad (2)$$

Calculations of seismic supports should take into account the fact that top and/or bottom of the rubber layer can be vulcanized into the metal plates; in this case, in formulas (2) and (3), load P_0 should be substituted by the corrected value of real load P , which takes into account increased stiffness due to the fastened top and/or bottom:

$$P_0 = P/\beta, \quad (3)$$

where $\beta = 1 + 0.413\rho^2$ – according to Payne; $\beta = 0.92 + 0.5\rho^2$ – according to Laval-delis.

The authors propose to calculate β by the following formula:

$$\beta = 1 + 0.83\rho^2, \quad (4)$$

where $\rho = R/h$, β is coefficient of the stiffness increase due to the fastened top and/or bottom.

Method of finite element (FEM) is the universal numerical method for calculating rubber vibro- and seismic insulators as it allows to take into account asymmetry of loads and fastening, as well as to obtain an overall picture of the stress-strain state. At the same time, traditional FEM does not allow to consider such property of rubber as weak compressibility of the material; therefore, the authors use a specially developed FEM scheme – a finite element moment scheme (FEMS) for weakly compressible materials. This scheme assumes triple approximation of displacement vector components, deformation tensor components and volume change function, and stabilization of some of the summands according to certain rules. For a prismatic finite element of a triangular shape, these approximations take the following form:

$$u_{k'} = \sum_{pqr}^{lmn} \omega_{k'}^{(pqr)} \psi^{(pqr)} = \omega_{k'}^{(000)} + \omega_{k'}^{(100)} \psi^{(100)} + \omega_{k'}^{(010)} \psi^{(010)} + \omega_{k'}^{(110)} \psi^{(110)} + \\ + \omega_{k'}^{(001)} \psi^{(001)} + \omega_{k'}^{(101)} \psi^{(101)};$$

$$\varepsilon_{11} = e_{11}^{(000)} + e_{11}^{(010)} \psi^{(010)} + e_{11}^{(001)} \psi^{(001)}; \quad \varepsilon_{22} = e_{22}^{(000)} + e_{22}^{(100)} \psi^{(100)}; \quad \varepsilon_{33} = e_{33}^{(000)} + e_{33}^{(100)} \psi^{(100)};$$

$$\varepsilon_{12} = e_{12}^{(000)}; \quad \varepsilon_{13} = e_{13}^{(000)}; \quad \varepsilon_{23} = e_{23}^{(000)} + e_{23}^{(100)} \psi^{(100)}; \quad \theta = e_{11}^{(000)} g^{11} + e_{22}^{(000)} g^{22} + e_{33}^{(000)} g^{33},$$

where $u_{k'}$ are components of displacement vector in the direction of the k' axis of the basic coordinate system; ε_{ij} are components of deformation tensor; θ is volume change function; l, m, n are maximum degrees of approximating polynomials relatively to the axes of the local coordinate system x_1, x_2, x_3 ; g^{ij} are components of metric tensor; $\omega_{k'}^{(pqr)}$ are coefficients of displacement decomposition; $e_{ij}^{(pqr)}$ are coefficients of deformation decomposition; $\psi^{(pqr)}$ is a set of power coordinate functions of the form:

$$\psi^{(pqr)} = \frac{(x_1)^p (x_2)^q (x_3)^r}{p! q! r!}.$$

In order to improve accuracy of the calculations, the improved FEMS schemes [9] are used.

Let's find compression Δ for the two-layer seismic support with diameter $d = 400$ mm, height of the rubber layer $h = 240$ mm and modulus of elasticity $G = 0.63$ MPa; the compression is caused by load $P = 50$ kN.

Solution for the nonlinear problem of solid cylinder compression with taking into account specific stiffness on the top and/or bottom was found numerically by the Runge-Kutta method with the fourth-order accuracy. To this end, it was necessary to solve the Cauchy problem with certain boundary conditions. As a result of calculations, a value of seismic insulator compression $\Delta = 0.0127$ m was obtained, which well coincided with results of experimental studies.

The problem was also implemented numerically on the basis of the finite element moment scheme. In Figure 4, distribution of stress tensor components in the seismic support is shown:

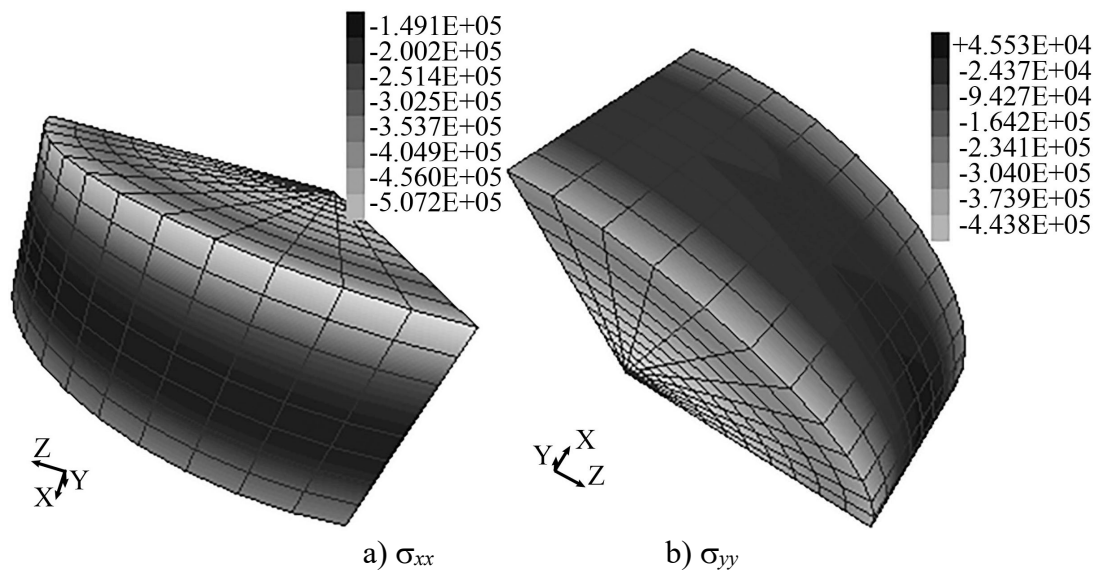


Figure 4 – Distribution of normal stresses in the seismic support

Results of calculation of the vibration insulator compression at $\beta = 2.38$ (by formula (4)) are shown in Table 1.

Table 1 – Results of calculation of seismic support compression.

Index	Method for calculating compression			
	experimental studies	formulas		numerical implementation
		(1)	(2)	
Compression (maximum deflection of the rubber element) (m):	0.0127	0.0084	0.0128	0.01128

It is evidently that the most accurate result was obtained by formula (2), however, this formula does not provide an overall picture of the stress-strain state distribution in seismic support unlike the numerical implementation and the Ritz method.

4 Conclusions

1. A method has been developed for calculating rubber seismic blocks for vibroseismic protection of machines, buildings and structures.

2. The designed and tested RSB were used in 2014-2018 for seismo- and vibration protection (caused by underground trains and motor transport) of residential buildings in Kyiv: 10-section 10-storey residential building in the Kikvidze street and three 27-

storey residential buildings in the Obolonskyi Avenue (Fig. 5), plus three houses in Lviv.

3. Seismic insulation based on the RSB provides intrinsic oscillation frequency of the building in horizontal plane at the level of 1 Hz and less being in harmony with requirements of the SCN standard and Eurocode 8 on designing systems for seismic insulation of buildings. It should be noted that the designed RSB can be also used to protect buildings and structures against effects of ground (rail and motor transport) and underground (trains) transport, and for insulation of vibration of various heavy machines to ensure safety functioning of buildings and structures.

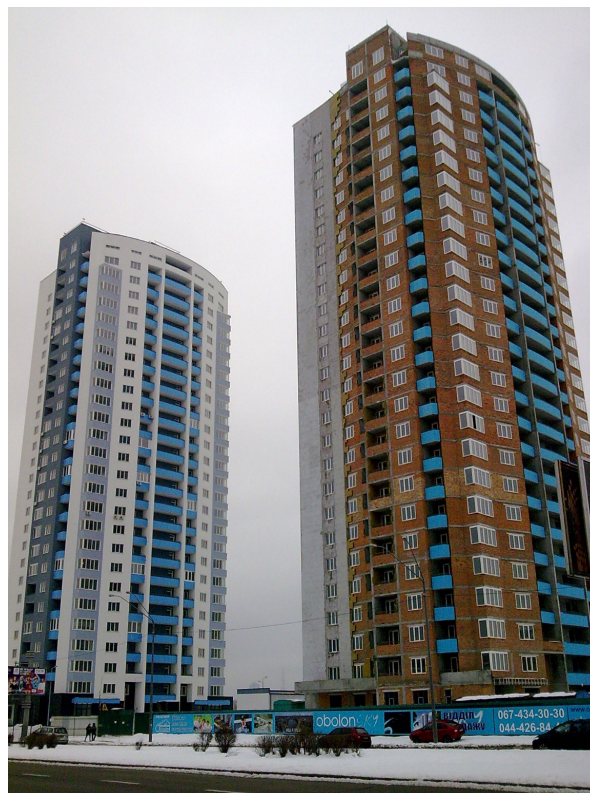


Figure 5 – General view of residential houses in Obolonskyi avenue in Kyiv with the system of vibration protection (distance to the shallow underground line is 100 m)

REFERENCES

1. Bulat, A.F., Dyrda, V.I., Zviagilskii, E.L. and Kobets, A.S. (2012), *Prikladnaya mekhanika uprugonasledstvennykh sred. Tom 2. Metody rascheta elastomernykh detalei* [Applied mechanics of elastic-hereditary media. Vol. 2. Design techniques of elastomeric parts], Naukova dumka, Kyiv, Ukraine.
2. Kelly, J.M. (2002), "Seismic insulation systems for developing countries", *Earthquake Spectra*, vol. 18, issue 3, pp. 385-406. DOI: <https://doi.org/10.1193/1.1503339>
3. Smirnov, V.I. (2009), "Tests of highly damping rubber supports for use in seismic insulated building "Hotel and tourist complex "Sea Plaza" in Sochi", *Seismostoykoye stroitelstvo. Bezopasnost sooruzheniy*, no. 4, pp. 40-48.
4. Nemchinov, Yu.I. (2008), *Seismostoykost zdaniy i sooruzheniy* [Seismohundred-bone of buildings and constructions], Gudimenko, Kyiv, Ukraine.
5. Bulat, A.F., Nemchinov, Yu.I., Dyrda, V.I. et al. (2009), "The rubber-metallic blocks for vibro-seismic safety of machines and constructions", *Galuzeve mashynobuduvannya, budivnytstvo*, no. 3 (25), vol. 1, pp. 30-35.
6. Ministerstvo rehionalnoho rozvytku ta budivnytstva Ukrainy (2014), *DBN V.1.1-12:2014. Stroitelstvo v seysmicheskikh rayonakh Ukrainy* [SCN V.1.1-12:2014. Construction in seismic regions of Ukraine], Minregion Ukrainy, Kyiv, Ukraine.
7. Dyrda, V.I., Nemchinov, Yu.I., Lysytsia, M.I., Marienkov, M.H., Puhach, A.M. and Zharko, L.O. (2011), *Antiseismichna opora* [Antiseismic support], State Register of Patents of Ukraine, Kyiv, Ukraine, Patent No 58418.
8. Biderman, V.L. (1968), "Calculation of cylindrical and rectangular long rubber shock absorbers", *Raschety na prochnost* [Strength calculations], no. 13, pp. 55-72.
9. Grebeniuk, S.N. and Bova, A.A. (2009), "Increase of accuracy of the moment diagram of a finite element for weakly compressible materials", *Sovremennyye problemy i puti ikh resheniya v nauke, transporte, proizvodstve i obrazovanii* [Modern problems and ways of their solution in science, transport, production and education], no. 22, pp. 55-64.
10. Kirichevskiy, V.V. (2002), *Metod konechnykh elementov v mekhanike elastomerov* [The finite element method in the mechanics of elastomers], Naukova dumka, Kyiv, Ukraine.
11. Bulat, A.F., Dyrda, V.I., Lysytsya, M.I., Grebenyuk, S.M. (2018), "Numerical Simulation of the Stress-Strain State of Thin-Layer Rubber-Metal Vibration Absorber Elements Under Nonlinear Deformation", *Strength of Materials*, no. 3 (50), pp. 387-395. DOI: <https://doi.org/10.1007/s11223-018-9982-9>
12. Cherepinsky, Yu.D. and Lapin, V.A. (1995), *Osnovy seysmoizolyatsii v stroitel'stve* [Fundamentals of Seismic Isolation in Construction], ELITE Publishing House, Irkutsk, Russia.

СПИСОК ЛІТЕРАТУРИ

1. Прикладная механика упругонаследственных сред: в 4 т. / А.Ф. Булат, В.И. Дырда, Е.Л. Звягельский, А.С. Кобец. Киев: Наук. думка, 2012. Т. 2: Методы расчета эластомерных деталей. 616 с.
2. Kelly J.M. Seismic insulation systems for developing countries. *Earthquake Spectra*. 2002. Vol. 18, issue 3. P. 385-406. DOI: <https://doi.org/10.1193/1.1503339>

3. Смирнов, В.И. Испытания высокодемпфирующих резинометаллических опор для применения в сейсмоизолированном здании «Гостинично-туристического комплекса «Sea Plaza» в г. Сочи / В.И. Смирнов // Сейсмостойкое строительство. Безопасность сооружений. – 2009. – № 4. – С. 40-48.
4. Немчинов Ю.И. Сейсмостойкость зданий и сооружений. К., 2008. 480 с.
5. Булат, А.Ф. Резинометаллические блоки для вибросейсмозащиты машин и сооружений / А.Ф. Булат, Ю.И. Немчинов, В.И. Дырда [и др.] // Галузеве машинобудування, будівництво: 36. наук. праць. – Полтава: Полтавський національний технічний університет, 2009. – Вип. 3(25). – Т. 1. – С. 30-35.
6. ДБН В.1.1-12: 2014. Будівництво в сейсмічних районах України. К.: Мікрореґіон України, 2014. 110 с.
7. Антисейсмічна опора: пат. 58418 Україна: МПК F16F3/00, F16F1/36. u201011644, заявл. 30.09.2010, опубл. 11.04.2011. 6 с.
8. Бидерман В.Л. Расчет цилиндрических и прямоугольных длинных резиновых амортизаторов. Расчеты на прочность. 1968. №13. С. 55-72.
9. Гребенюк С.Н., Бова А.А. Повышение точности моментной диаграммы конечного элемента для слабосжимаемых материалов. Современные проблемы и пути их решения в науке, транспорте, производстве и образовании. 2009. №22. С. 55-64.
10. Киричевский В.В. Метод конечных элементов в механике эластомеров. К.: Наук. думка, 2002. 655 с.
11. Numerical Simulation of the Stress-Strain State of Thin-Layer Rubber-Metal Vibration Absorber Elements Under Nonlinear Deformation / Bulat A.F., Dyrda V.I., Lysytsya M.I., Grebenyuk S.M. Strength of Materials. 2018. No. 3 (50). P. 387-395.
DOI: <https://doi.org/10.1007/s11223-018-9982-9>
12. Черепинский Ю.Д., Лапин В.А. Основы сейсмоизоляции в строительстве. Иркутск: ELITE Publishing House, 1995. 204 с.

About the authors

Dyrda Vitalii Illarionovych, Doctor of Technical Sciences (D. Sc.), Professor, Head of Department of Elastomeric Component Mechanics in Mining Machines, Institute of Geotechnical Mechanics named by N. Poljakov of National Academy of Science of Ukraine, Dnipro, Ukraine, vita.igtm@gmail.com

Kobets Anatolii Stepanovych, Doctor of Public Administration, Professor, Rector, Dnipro State Agrarian and Economic University, Dnipro, Ukraine, agro@dsau.ua

Bulat Ievgeniia Anatoliivna, Doctor of Science of Law, Senior Researcher, Prydniprovsky Scientific Center of the National Academy of Sciences of Ukraine and the Ministry of Education and Science of Ukraine, Professor of Department of Civil, Labour and Commercial Law, Oles Honchar Dnipro National University, Dnipro, Ukraine, aasdbulat@gmail.com

Lapin Vladimir Alekseevich, Candidate of Technical Sciences (Ph.D.), Director of Center for Scientific Research in Building Industry, Corresponding Member of International Engineering Academy and National Engineering Academy of the Republic of Kazakhstan, Kazakh Research and Design Institute of Construction and Architecture, Almaty, Kazakhstan, vlapin@kazniisa.kz

Lysytsia Natalia Mykolaïivna, Master of Science, Assistant of computer technologies department, faculty of applied mathematics, Oles Honchar Dnipro National University, Dnipro, Ukraine, lisitsa_natalya1971@ukr.net

Ahaltsov Hennadii Mykolaiovych, Master of Science, Junior Researcher of Department of Elastomeric Component Mechanics in Mining Machines, Institute of Geotechnical Mechanics named by N. Poljakov of National Academy of Science of Ukraine, Dnipro, Ukraine, aq.gena@gmail.com

Sokol Serhii Petrovych, Candidate of Technical Sciences (Ph.D.), Associate Professor, Dean of the Faculty of Engineering and Technology, Dnipro State Agrarian and Economic University, Dnipro, Ukraine, itf@dsau.dp.ua

Про авторів

Дырда Віталій Ілларіонович, доктор технічних наук, професор, завідувач відділу механіки еластомерних конструкцій гірничих машин, Інститут геотехнічної механіки ім. М.С. Полякова Національної академії наук України (ІГТМ НАНУ), м. Дніпро, Україна, vita.igtm@gmail.com

Кобець Анатолій Степанович, доктор наук з держуправління, професор, ректор, Дніпровський державний аграрно-економічний університет (ДДАЕУ), м. Дніпро, Україна, agro@dsau.ua

Булат Євгенія Анатоліївна, доктор юридичних наук, старший науковий співробітник, Придніпровський науковий центр Національної академії наук України і Міністерства освіти і науки України, професор кафедри цивільного, трудового і господарського права, Дніпровський національний університет імені О. Гончара, м. Дніпро, Україна, aasdbulat@gmail.com

Лапін Володимир Олексійович, кандидат технічних наук, член-кореспондент Національної Інженерної Академії Республіки Казахстан та Міжнародної Інженерної Академії, директор Центру наукових досліджень будівельної галузі, Казахський науково-дослідний та проектний інститут будівництва і архітектури, м. Алмати, Казахстан, vlapin@kazniisa.kz

Лисиця Наталія Миколаївна, інженер, асистент кафедри комп'ютерних технологій, факультет прикладної математики, Дніпровський національний університет ім. О. Гончара, м. Дніпро, Україна, lisitsa_natalya1971@ukr.net

Агальцов Геннадій Миколайович, інженер, молодший науковий співробітник відділу механіки еластомерних конструкцій гірничих машин, Інститут геотехнічної механіки ім. М.С. Полякова Національної академії наук України (ІГТМ НАНУ), м. Дніпро, Україна, aq.gena@gmail.com

Сокол Сергій Петрович, кандидат технічних наук, доцент, декан інженерно-технологічного факультету, Дніпровський державний аграрно-економічний університет (ДДАЕУ), м. Дніпро, Україна, itf@dsau.dp.ua

Анотація. Аналіз світової практики вібросейсмозахисту будівель і споруд показує, що системи з використанням еластомерних блоків є найбільш перспективними з точки зору вартості та ефективності. Зазначені системи дозволяють захистити будівлі і споруди при сейсмічних впливах не тільки у вертикальній і горизонтальній

площинах, а й від крутіння. Вважається, що саме крутіння в поєднанні з несприятливими факторами, зокрема з вертикальною складовою поштовхів, є основною причиною катастрофічних руйнувань при землетрусах. Розглядаються основні проблеми системи вібростійкості будівель і споруд за допомогою еластомерних блоків, які характеризуються високою вертикальною жорсткістю, низькою жорсткістю на зсув, високою дисипацією енергії і здатністю до центрування вертикального навантаження; мають високу надійність і відсутність ризику раптової відмови. Викладено результати статичних і динамічних випробувань параметричного ряду еластомерних блоків для захисту житлових будинків від вібрацій. Розглядається конструкція палі з віброізолюючими гумовими опорами. Розглядається розрахунок еластомерних блоків при статичному стиску. Досліджуються компоненти напружено-деформованого стану тонкошарових елементів. Проведено розрахунок величини стиску тонкого гумового шару під дією вертикально прикладеної сили. При чисельному розрахунку слабка стисливість гуми моделювалася за допомогою моментної сили кінцевого елемента для слабкостисливих матеріалів, яка полягає в потрійній апроксимації полів переміщень, компонент деформацій та функції зміни обсягу. Чисельне рішення отримано методом кінцевих елементів для різних співвідношень радіусу і товщини в разі геометрично нелінійного пружного і в'язкопружного деформування. Геометрична нелінійність описувалася за допомогою тензора нелінійних деформацій. Для моделювання в'язкопружних властивостей гуми використовували спадкову теорію Больцмана-Вольтерра з ядром релаксації Ю.Н. Работнова. Нелінійні крайові задачі вирішувалися модифікованим методом Ньютона-Канторовича. Досліджено вплив геометричної нелінійності і в'язкопружних властивостей гуми на величину осідання гумового шару.

Ключові слова: вібростійкість будівель і споруд, віброізолятор, статичні та динамічні дослідження, розрахунок віброізоляторів

Анотація. Анализ мировой практики вибростойкости зданий и сооружений показывает, что системы с использованием эластомерных блоков являются наиболее перспективными с точки зрения стоимости и эффективности. Указанные системы позволяют защитить здания и сооружения при сейсмических воздействиях не только в вертикальной и горизонтальной плоскостях, но и от кручения. Считается, что именно кручение в сочетании с неблагоприятными факторами, в частности с вертикальной составляющей толчков, являются основной причиной катастрофических разрушений при землетрясениях. Рассматриваются основные проблемы системы вибростойкости зданий и сооружений с помощью эластомерных блоков, которые характеризуются высокой вертикальной жесткостью, низкой жесткостью на сдвиг, высокой диссипацией энергии и способностью к центрированию вертикальной нагрузки; обладают высокой надежностью и отсутствием риска внезапного отказа. Изложены результаты статических и динамических испытаний параметрического ряда эластомерных блоков для защиты жилых зданий от вибраций. Рассматривается конструкция свай с виброизолирующими резиновыми опорами. Рассматривается расчет эластомерных блоков при статическом сжатии. Исследуются компоненты напряженно-деформированного состояния тонкослойных элементов. Проведен расчет величины сжатия тонкого резинового слоя под действием вертикально приложенной силы. При численном расчете слабая сжимаемость резины моделировалась с помощью моментной силы конечного элемента для слабосжимаемых материалов, которая заключается в тройной аппроксимации полей перемещений, компонент деформаций и функции изменения объема. Численное решение получено методом конечных элементов для различных соотношений радиуса и толщины в случае геометрически нелинейного упругого и вязкоупругого деформирования. Геометрическая нелинейность описывалась с помощью тензора нелинейных деформаций. Для моделирования вязкоупругих свойств резины использовали наследственную теорию Больцмана-Вольтерра с ядром релаксации Ю.Н. Работнова. Нелинейные краевые задачи решались модифицированным методом Ньютона-Канторовича. Исследовано влияние геометрической нелинейности и вязкоупругих свойств резины на величину осадки резинового слоя.

Ключевые слова: вибростойкость зданий и сооружений, виброізолятор, статические и динамические исследования, расчет виброізоляторов

Статья поступила в редакцию 05.02.2020

Рекомендовано к печати д-ром техн. наук В.Г. Шевченко